## 落石の衝撃応答に及ぼす敷砂緩衝材の密度と厚さの影響(その2)

松江工業高等専門学校 正会員 〇河原荘一郎 (株)竹下技術コンサルタント 正会員 根波 美春

1. **まえがき** 落石対策便覧 <sup>1)</sup>では、落石の衝撃力を算定する式は、ヘルツの弾性衝突理論を適用した次式の振動便覧式が採用されている。

 $P_{\text{max}} = 2.108 \cdot (m \cdot g)^{2/3} \cdot \lambda^{2/5} \cdot H^{3/5}$ 

P<sub>max</sub>: 落石の衝撃力 [kN], m: 落石の質量 [t]

 $g: 重力加速度 [m/s^2], H: 落下高さ [m]$ 

 $\lambda$ :被衝突体のラメ定数 [kN/m<sup>2</sup>]=1,000~10,000 (通常は1,000)

しかし、落石の衝突は塑性衝突であること、敷砂緩衝材の密度や 厚さとラメ定数  $\lambda$  の関係が不明瞭であることの 2 つ問題がある。

ここでは、敷砂緩衝材の密度および厚さが落石の衝撃力に及ぼす 影響を調査するため、落石に見立てた重錘の落下衝撃実験を前報<sup>2)</sup> に引き続き行った。

2. 実験方法 実験装置(図 1)は落石に見立てた重錘,モールドおよびガイドからなる。重錘の載荷盤(底面直径 50 mm,厚さ 15 mm)の上面中央に圧電型加速度計(定格容量 5000 G)を内蔵し,モールド底面中央に土圧計(受圧面直径 27 mm,定格容量 196 kPa)を装備する。

まず,モールド(高さ 100~300 mm の 4 通り)に湿潤状態のまさ土

(敷砂緩衝材に相当) $^{3)}$ を  $1185 \, \mathrm{cm}^3$  づつ分け充填し,層毎に重錘(質量  $3.75 \, \mathrm{kg}$ ,底面直径  $17.6 \, \mathrm{cm}$ )を高さ  $30 \, \mathrm{cm}$ ,所定の回数  $N_{\mathrm{B0}}$ (=1, 2, 4)にて落下させ,初期密度 $\rho_{\mathrm{do}}$  の異なる地盤を作成した。その後,重錘質量  $m=3.0\sim 7.0 \, \mathrm{kg}$ ,落下高  $H=15.7\sim 46.3 \, \mathrm{cm}$  の組合せ(計  $16 \, \mathrm{i} = 9$ )で,重錘を  $1 \, \mathrm{i} = 10$  回落下させ,衝撃加速度 a およびモールド底面土圧  $\sigma$ をサンプリング間隔  $50 \, \mathrm{i} = 10$  にて測定した。

#### 3. 最大衝擊加速度

まず、最大衝撃加速度  $a_{max}$  と重錘質量m,落下高 H の組合せからなる種々の因子 [H, H/m,衝突速度  $v_0$ , $v_0/m$ ]との相関性を調査した。その結果、最大衝撃加速度  $a_{max}$  は  $v_0/m$  とともに増加し、そのべき関数で表される(図 2)。

また,最大加速度  $a_{\max}$  はまさ土の密度 $\rho_{do}$  とともに増加する。一方,最大加速度  $a_{\max}$  は試料厚さLの影響をほとんど受けない。

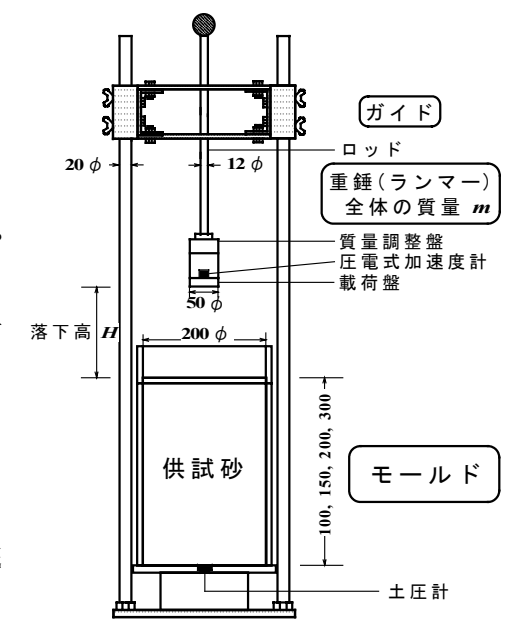


図1 衝撃応答実験装置

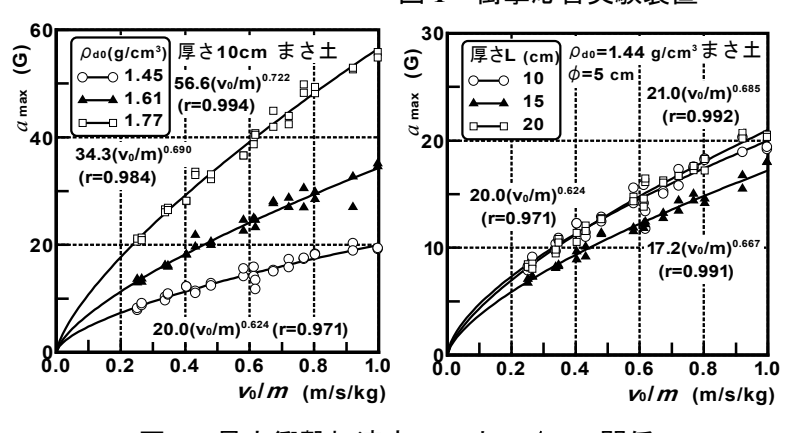


図2 最大衝撃加速度  $a_{
m max}$ と  $v_0/m$  の関係

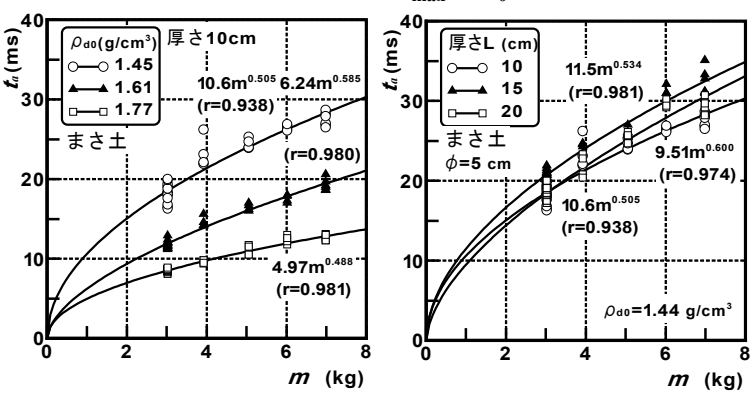


図3 衝撃持続時間  $t_a$ と重錘質量 m の関係

キーワード:落石,衝撃力,落石覆工,敷砂緩衝材,室内実験

連絡先: 〒690-8518 島根県松江市西生馬町 14-4 Tel&Fax: 0852-36-5263

### 4. 衝擊持続時間

まず, 衝撃持続時間 ta と重錘質量 m, 落 下高 H の関係を調べた。その結果、衝撃持 続時間  $t_a$  は落下高 H の影響を受けないが、 重錘質量 m とともに増加し、そのべき関数 で表される(図3)。

また、まさ土の密度 $\rho_{do}$ の増加とともに衝 撃持続時間  $t_a$  は減少する。一方、衝撃持続 時間  $t_a$  は試料厚さ L の影響をほとんど受け ない。

# 5. モールド底面最大土圧

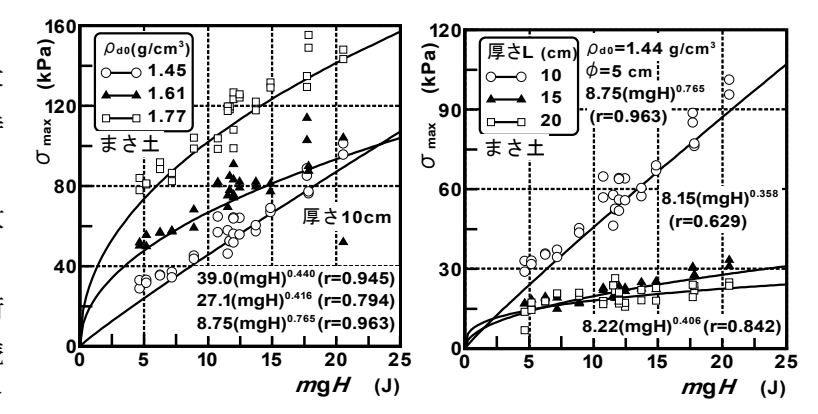
まず、モールド底面最大土圧 $\sigma_{max}$ と重錘 質量m, 落下高Hの組合せからなる種々の 因子[運動量  $mv_0$ , 打撃エネルギーmgH]との 相関性を調査した。その結果、若干ばらつ きがあるものの、モールド底面最大土圧 $\sigma_{max}$ は打撃エネルギーmgH とともに増加し、そ のべき関数で表される(図4)。

また、モールド底面最大土圧 $\sigma_{max}$  はまさ 土の密度 $\rho_{do}$  とともに増加する。一方、試料 厚さ L が増加するとともにモールド底面最 大土圧 $\sigma_{max}$ は減少する。

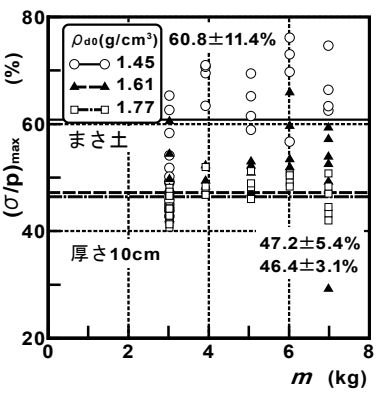
したがって、緩衝効果を高めるために は、敷砂の密度をできるだけ小さくするこ と,敷砂の厚さをできるだけ大きくとるこ とが効果的である。

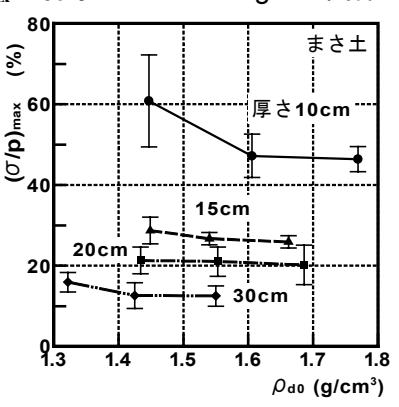
### 6. 衝撃圧力伝達率

まず, 衝撃圧力伝達率 (σ/p)<sub>max</sub> と重錘質 量 m の関係を図 5 に示す。 $(\sigma/p)_{max}$  とはモ ールド底面最大土圧σ<sub>max</sub> を最大衝撃圧力  $p_{\text{max}} (\equiv m \cdot a_{\text{max}}/A, A: 重錘の底面積) で除し$ た値である。衝撃圧力伝達率 $(\sigma/p)_{max}$ は、重鍾質量m、落下高Hの影響をほとんど受けない。



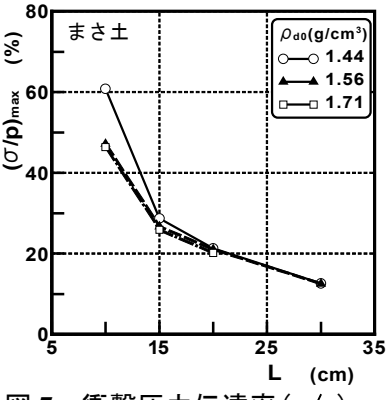
モールド底面最大土圧 $\sigma_{
m max}$ と打撃エネルギーmgHの関係





と重錘質量 m の関係

衝撃圧力伝達率 $(\sigma/p)_{max}$  図 6 衝撃圧力伝達率 $(\sigma/p)_{max}$ と乾燥密度 $ho_{
m d0}$ の関係



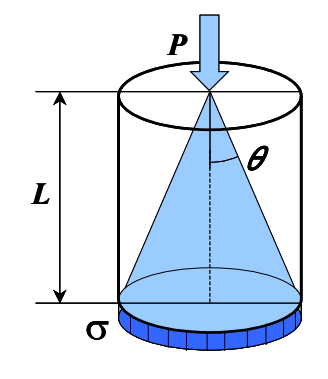


図 7 衝撃圧力伝達率 $(\sigma/p)_{max}$ と試料厚さLの関係

図 8 衝撃力 *P* とモールド底 面土圧のの関係

また、衝撃圧力伝達率 $(\sigma/p)_{max}$ と乾燥密度 $ho_{d0}$ の関係を図 6に示す。衝撃圧力伝達率 $(\sigma/p)_{max}$ は、まさ土の 密度 $ho_{d0}$ が増加するにつれわずかに減少する。さらに、衝撃圧力伝達率 $(\sigma/p)_{max}$ と試料厚さLの関係を $\mathbf{Z}$ 示す。試料厚さLが増加するとともに衝撃圧力伝達率 $(\sigma/p)_{max}$ は急激に減少する。

図8に示すように重錘落下による衝撃力 Pは、落下地点を頂点として円錐形に伝わる。円錐の頂角を2  $\theta$ , 高さ(試料厚さ)Lとすると、円錐底面積 A は $\pi L^2$  tan $2\theta$ となる。モールド底面土圧 $\sigma$ は、 $P/(\pi L^2$ tan $2\theta$ ) と表される。 $\theta$ , P の値を一定と仮定すると、モールド底面土圧 $\sigma$ は  $L^2$  に反比例する。このため、試料厚さ L が増加すると,最大衝撃圧力  $p_{\max}$  は試料厚さ L の影響を受けないので,衝撃伝達率 $(\sigma/p)_{\max}$  は急激に減少 すると考えられる。

参考文献 1) 日本道路協会編:落石対策便覧(改訂版),日本道路協会,pp.20-23,pp.268-274,2000.

2)河原荘一郎:落石の衝撃応答に及ぼす敷砂緩衝材の密度と厚さの影響,土木学会第 58 回年次学術講演会概要集 3) 河原荘一郎:落石の衝撃力に及ぼす敷砂緩衝材の密度の影響、松江工 CD-ROM, III-231, pp.461-462, 2003. 業高等専門学校研究紀要, 第 37 号, pp.33-38, 2002.